



Synoptic-Dynamic Analysis of Heavy Rainfall Leading to Flooding in Golestan Province in March 2019

F. Abdolalizadeh^{1*}, A.M. Khorshiddoust²

Received: 01-10-2022

Revised: 24-12-2022

Accepted: 25-12-2022

Available Online: 25-12-2022

How to cite this article:

Abdolalizadeh, F., & Mohammad-Khorshiddoust, A. (2023). Synoptic-Dynamic Analysis of Heavy Rainfall Leading to Flooding in Golestan Province in March 2019. *Journal of Water and Soil* 37(1): 145-164. (In Persian with English abstract).
<https://doi.org/10.22067/jsw.2022.78803.1203>

Introduction

Heavy rains often occur in small areas, but they may be the result of large-scale systems and their energy and moisture are provided from distant areas (Mohamadei et al., 2010). Therefore, identification of synoptic systems is of great importance in order to predict precipitation. Although rain has many positive effects on human life, heavy rain can cause one of the most dangerous and damaging natural disasters, namely floods. Every year, floods cause many human and financial losses in different regions of the world. Floods are more effective in vulnerable areas and cause the loss of human lives, damage to property and products, disruption of transportation and services, and other economic losses (Kheradmand *et al.*, 2018). In March 2019, heavy rains occurred in Golestan province, which caused flooding in parts of this province, especially in the cities of Gonbad-Kavus and Aqqala. Most of this heavy rain and flood occurred in the Gorgan River basin. According to meteorological reports, the rain started from the night of 03.17.2019 and continued until 03.21.2019, although the heaviest rainfall occurred from the 03.18.2019. The volume of the flood was so great that the dams on the Gorgan River could not accommodate it. According to the reports of the regional water company of Golestan province, the flood entered the Bostan dam at 1 am on 03/19/2019, and after passing through it, entered the Vashmgir dam at 6 am, and then on 03.21.2019 entered the city of Aqqala. The damage of this flood was estimated at about 4800 billion Tomans, which includes damage to 17800 residential units, damage to farms, transportation infrastructure, 40% reduction in tourism, damage to industrial units, unemployment of about 3000 people, and damage to the nomads of the province. (Islamic Republic News Agency, 04.09.2019). Considering the heavy damage caused by the mentioned heavy rain and flood in Golestan province, it is necessary to identify and analyze the causes of its occurrence in order to plan and take the necessary measures to prepare and deal with such incidents.

Materials and Methods

The study area is Gorganrood watershed, most of this area is located in Golestan province. Golestan province is one of the northern provinces of the country and is located in the southeast of Caspian sea. In this research, in order to identify and analyze the heavy rain that occurred in Golestan province in March 2019, which led to severe flooding, several types of data were used (data from meteorological stations, NCEP/NCAR reanalyzed data, MODIS satellite images, GPM precipitation products). First, using the rainfall data of the synoptic stations located in the Gorgan River watershed, the time of heavy rainfall was identified, and then using the data of the aforementioned stations and several stations outside the basin, a rainfall zoning map was prepared. MODIS satellite images were also used to check the position of precipitation system and cloudiness of region. Using GPM satellite rainfall products called IMERG, which were extracted on a half-hourly basis, as well as the main synop reports of meteorological stations, which are reported on a six-hourly basis, the intensity of rainfall was investigated. In addition, the physical conditions of the basin were investigated using the topography and slope map of the basin prepared from the DEM layer of the region. In the following, using the reanalyzed data of the NCEP/NCAR

1- Meteorologist, I.R. Iran Meteorological Organization, East Azerbaijan Bureau of Meteorology

(*- Corresponding Author Email: f.abdolalizadeh@tabrizu.ac.ir)

2- Professor of Climatology Department, Tabriz University, Tabriz, Iran

database (National Center for Environmental Prediction - National Center for Atmospheric Research of the United States), synoptic maps including maps of land surface pressure, geopotential height of the upper atmosphere, Omega (indicates the speed of vertical movements of the atmosphere), wind direction and speed, moisture flux convergence function, frontal function, specific humidity, atmospheric precipitable water and Hoff-Müller diagram were drawn to identify the synoptic and dynamic factors of the mentioned precipitations.

Results and Discussion

The results of the present research in the analysis of flood factors can be summarized as follows:

- Survey of the topography and slope of the Gorganrood basin revealed that the physical conditions of the basin are such that the potential for flooding is high.
- The amount of rainfall in 24, 6 and a half hour intervals in the study area were investigated and it was shown that the rainfall occurred on March 17, 18 and 19, especially on March 18, in terms of the intensity of rainfall were very intense.
- Investigation of the state of the middle troposphere showed that the formation of the Rossby wave and the meridional expansion of one of its troughs, along with the creation of a positive vorticity that dominated the studied area on the seventeenth of March, are the main factors in the creation of a baroclinic atmosphere and the dynamic ascent of air.
- Investigation of the synoptic-dynamic conditions of the lower levels of the troposphere showed that in the lower levels of the low-altitude synoptic system with closed meters, at the same time as the deep trough reigns over the region, it has been formed and strengthened during peak rainfall times and has led to a strong rise of air.
- Investigating the state of atmospheric humidity in the study area and identifying sources of moisture supply using special humidity maps, moisture flux convergence function and atmospheric flow paths were carried out.
- Investigating the omega variable in the vertical profile of the atmosphere using the Hoff-Mueller diagram showed that during the times of precipitation events, upward movements prevailed in all levels of the troposphere, especially during the peak of precipitation, the upward movements became more intense in the lower levels.
- Identifying the type of clouds using MODIS products showed that during heavy rains, especially on March 18, deep convective clouds with a high density of water were formed in the region, which extended up to a height of 300 hectopascals and were very thick.

Keywords: Flood, Gorganrood basin, Heavy rainfall, Moisture flux convergence

تحلیل سینوپتیکی-دینامیکی بارش سنگین منجر به سیل استان گلستان در ماه مارس ۲۰۱۹

فیروز عبدالعلی زاده^{۱*} - علی محمد خورشید دوست^۲

تاریخ دریافت: ۱۴۰۱/۰۷/۰۹

تاریخ بازنگری: ۱۴۰۱/۱۰/۰۳

تاریخ پذیرش: ۱۴۰۱/۱۰/۰۴

چکیده

طی روزهای هفدهم تا بیست و یکم ماه مارس ۲۰۱۹ (۲۶ اسفند ۱۳۹۷ تا ۱ فروردین ۱۳۹۸) بارش باران سنگین در استان گلستان (حوضه آبریز گرگانود) باعث ایجاد سیل و آبگرفتگی در مسیر گرگانود گردید که خسارات بسیار زیادی به شهرها، روستاها و بخش کشاورزی وارد آورد. لذا در این تحقیق اقدام به بررسی و تجزیه و تحلیل عوامل رخداد سیل مذکور به ویژه عوامل سینوپتیکی-دینامیکی وقوع بارش سنگین، گردید. جهت تحلیل سینوپتیکی-دینامیکی بارش سنگین، با استفاده از منابع داده‌ای مختلف (داده‌های هواشناسی ایستگاه‌های سینوپتیک، پایگاه NCEP/NCAR، محصولات ماهواره MODIS و محصولات ماهواره GPM) ابتدا زمان اوج بارش‌ها و شدت بارش مورد شناسایی قرار گرفت و سپس نقشه‌های سینوپتیک (نقشه‌های ارتفاع ژئوپتانسیل در سطوح میانی و زیرین تروپوسفر، چرخندگی نسبی، امگا، سمت و سرعت باد، همگرایی شار رطوبت، تابع جبهه‌زایی، رطوبت ویژه جو و نمودار هوف-مولر) تهیه گردیدند و مورد تجزیه و تحلیل قرار گرفتند. نتایج نشان دادند که بارش سنگین از ساعت ۱۸ (به وقت جهانی آ) روز هفدهم مارس شروع شده و تا ساعت ۱۸ روز هجدهم مارس ادامه داشته است و اوج شدت بارش‌ها در روز هجدهم مارس در اکثر ایستگاه‌ها بین ساعت‌های ۰۶ تا ۱۲ و ۱۲ تا ۱۸ بوده است. بررسی نقشه‌های سینوپتیک بیان داشت، منشأ سیستم بارشی تراف عمیق واقع بر بستر موج را سی می‌باشد که در اواخر روز هفدهم مارس به منطقه مورد مطالعه رسیده و باعث شکل‌گیری سیکلونی عمیق در این ناحیه شده است و با تزریق رطوبت از آب‌های جنوبی ایران و دریای خزر توسط جریانات جوی به داخل سیکلون وقوع بارش‌های سنگین را منجر گشته است. از سوی دیگر، توپوگرافی و شیب حوضه شرایط لازم را برای رخداد سیل فراهم آورده است.

واژه‌های کلیدی: بارش سنگین، حوضه گرگانود، سیل، همگرایی شار رطوبت

مقدمه

توسعه شهرنشینی ایجاد نمایند (Karianne et al., 2023). سیل هر ساله خسارات جانی و مالی فراوانی در مناطق مختلف دنیا به بار می‌آورد. سیل بیشتر در مناطق آسیب‌پذیر تأثیرگذار است و باعث از دست رفتن زندگی انسان‌ها، آسیب به دارایی و محصولات، اختلال در حمل و نقل و خدمات‌رسانی و سایر خسارات اقتصادی می‌شود (Kheradmand et al., 2018). تعداد افرادی که در معرض خطرات ناشی از سیل قرار دارند بیش از همه خطرات طبیعی دیگر است (مرکز کاهش مخاطرات آسیا، ۲۰۱۱) که یکی از دلایل آن می‌تواند افزایش سیل در ۳۰ سال گذشته باشد (Freer et al., 2011).

بارندگی‌های سنگین اغلب در مناطق کوچک رخ می‌دهند، اما ممکن است حاصل سیستم‌های بزرگ مقیاس بوده و انرژی و رطوبت آن‌ها از مناطق دوردست تأمین شده باشد (Mohamadei et al., 2010). بارش یکی از پدیده‌های جوی است که از تغییرپذیری زمانی و مکانی زیادی برخوردار است و عوامل مختلفی در وقوع آن نقش دارند؛ به همین دلیل مسئله پیش‌بینی بارش از پیچیدگی زیادی برخوردار است. رویدادهای بارش حدی می‌توانند منجر به آب‌های سطحی اضافی و سیل شده و خسارات اجتماعی زیادی را به دلیل

۱- کارشناس هواشناسی سینوپتیک، سازمان هواشناسی کشور، اداره کل هواشناسی استان آذربایجان شرقی
(* نویسنده مسئول: Email: f.abdolalizadeh@tabrizu.ac.ir)

۲- استاد گروه آب و هواشناسی، دانشگاه تبریز، تبریز، ایران

۳- ساعت‌های ذکر شده در سراسر مقاله به وقت جهانی (UTC) می‌باشند.

جمهوری اسلامی، ۱۳۹۸/۱/۲۰). با توجه به خسارات سنگینی که بارش سنگین و سیل مذکور در استان گلستان بر جای گذاشت لازم است تا عوامل وقوع آن مورد شناسایی و تحلیل قرار گیرد تا برنامه‌ریزی و اقدامات لازم جهت آمادگی و مقابله در صورت تکرار چنین حوادثی انجام گیرد.

تاکنون مطالعات زیادی در خصوص بارش‌های سنگین و عوامل ایجادکننده آن‌ها در مناطق مختلف دنیا انجام گرفته است. کموشجو و همکاران (Komuscu et al., 1998) عوامل هواشناسی ایجادکننده سیلاب‌های روزهای سوم و چهارم نوامبر ۱۹۹۵ از میر ترکیه را مورد تحلیل قرار دادند. نتایج نشان دادند عوامل بارش شدید فرارفت هوای گرم و مرطوب در ترازهای پایین جو، چرخندگی مثبت و واگرایی شدید در ترازهای بالا هستند. رضاکوا و همکاران (Rezacova et al., 2005) بارش سنگین آگو ست ۲۰۰۲ در کشور چک را تحلیل کردند. نتایج مطالعه آنها نشان داد گرادبان شدید فشار در قسمت عقب سیکلون که با حرکت کند به سمت شمال شرق اروپای مرکزی پی‌شروی می‌کرد همراه با رطوبت زیاد و استیلای چرخندگی مثبت در ترازهای مختلف جو دلایل اصلی بارش سنگین بودند. مسترانجلو و همکاران (Masterangelo et al., 2011)، ساز و کار بارش‌های سنگین جنوب شرق ایتالیا را مطالعه کردند. نتایج این مطالعه نشان داد رودباد سطح پایین (Low-Level Jet Stream) ناشی از الگوی بزرگ مقیاس جوی، یک محیط ناپایدار همرفتی ایجاد کرد که در تمام مدت حضور در منطقه موجب فرارفت توده‌های هوای مرطوب در ترازهای پایین جو شده و منجر به رخداد بارش سنگین گردید.

آگاهی دقیق در مورد عوامل رخداد بارش‌های حدی به منظور پیش‌بینی بهتر آن بسیار مهم می‌باشد (Karianne et al., 2023). توپوگرافی، خاک و کاربری اراضی با ممانعت در نفوذ و جذب آب توسط خاک، در تولید سیل مشارکت می‌کنند. اگر الگوهای سینوپتیکی تولید کننده بارش‌های سنگین شناسایی شوند، چند روز قبل می‌توان با رؤیت شروع توالی الگوهای مختوم به ایجاد سیل، وقوع سیلاب را پیش‌بینی کرد (Ghasemifar et al., 2017).

در آخرین روزهای سال ۱۳۹۷ و اوایل ۱۳۹۸ (ماه مارس ۲۰۱۹) بارش‌های شدیدی در استان گلستان به وقوع پیوست که باعث ایجاد سیل و آبگرفتگی در بخش‌هایی از این استان به ویژه در شهرهای گنبد کاووس و آق قلا گردید. عمده این بارش سنگین و سیل در حوضه گرگانرود رخ داد. طبق گزارشات هواشناسی بارندگی از شب ۱۳۹۷/۱۲/۲۶ شروع شد و تا ۱۳۹۸/۱/۱ ادامه داشت که البته بیشترین بارش از صبح ۱۳۹۷/۱۲/۲۷ تا صبح ۱۳۹۷/۱۲/۲۸ اتفاق افتاد. حجم سیلاب به حدی بود که سدهای واقع بر روی گرگانرود توان مهار آن را نداشتند (جدول ۱). براساس گزارشات شرکت آب منطقه‌ای استان گلستان، سیلاب از ساعت ۱ بامداد ۱۳۹۷/۱۲/۲۸ به سد بوستان وارد شد و با عبور از آن در ساعت ۶ صبح ۱۳۹۷/۱۲/۲۸ وارد سد وشمگیر شد و سپس در روز ۱۳۹۸/۱/۱ وارد شهر آق قلا گردید. خسارت این سیل حدود ۴۸۰۰ میلیارد تومان برآورد شد که شامل خسارت به ۱۷۸۰۰ واحد مسکونی، آسیب به مزارع، زیر ساخت‌های حمل و نقل، کاهش ۴۰ درصدی گردشگری، خسارت به واحدهای صنعتی و بیکاری حدود ۳۰۰۰ نفر و آسیب به عشایر استان می‌باشد (خبرگزاری

جدول ۱ - حجم سیلاب رودخانه گرگانرود در بازه زمانی ۱۳۹۷/۱۲/۲۶ الی ۱۳۹۸/۱/۸

Table 1- The flood volume of the Gorganrood river in the period from 03.17.2019 to 03/14/2018

مکان اندازه‌گیری سیلاب Flood measurement location	حجم سیلاب (میلیون متر مکعب) Flood volume (million cubic meters)
خروجی سد گلستان Golestan Dam outlet	130
ورودی میان حوضه (باغه سالیان) The entrance to the middle of the basin (BsgheSalian)	40
ورودی میان حوضه (آراز کوسه) The entrance to the middle of the basin (ArazKoosheh)	78
میان حوضه بین سدهای گلستان و وشمگیر Middle of the basin between Golestan and Vashangir dams	33
ذخیره شده در سدهای بوستان گلستان و وشمگیر Stored in Boostan and Vashemgir Dams	23
جمع کل سیلاب The total flood	304

منبع: شرکت سهامی آب منطقه‌ای استان گلستان
Source: Regional water company of Golestan

دینامیکی وقوع سیل بندرعباس در مارس ۲۰۱۴ را شنا سایی کردند. برر سی ها نشان داد مهمترین عامل ناپایداری جوی سیستم کم فشار دینامیکی است که به صورت یک ترف کم فشار از ترکمنستان به سمت تنگه هرمز کشیده شده بود، همچنین وجود رود باد قوی بر روی استان هرمزگان و انتقال رطوبت از تنگه هرمز در رخدادهای بارش سنگین مؤثر بودند. میریان و همکاران (Mirian et al., 2020)، بارش سنگین ۱۹۷۴/۱۲/۵ در ایران را از نظر سینوپتیکی مورد تحلیل قرار دادند. نتایج نشان دادند در زمان رخداد بارش، ناحیه همگرایی قوی در سطح زمین شکل گرفته که منطبق بر ناحیه واگرایی تراز میانی جو بوده و صعود دینامیکی هوا را موجب شده است. حسینی صدر و همکاران (Hoseini Sadr et al., 2020)، ساز و کار سینوپتیکی بارش سنگین ۱۴ آوریل ۲۰۱۷ در شمال غرب ایران را بررسی کردند. نتایج این پژوهش نشان دادند استیلای منطقه چرخندی ترف مدیترانه در تراز میانی جو به همراه رود باد جبهه قطبی در سطوح فوقانی شرایط ناپایداری و صعود هوا را فراهم کرده اند و نقشه های شار رطوبت نشان دادند منبع رطوبت بارش سنگین دریای سرخ بوده است. بیرانوند و همکاران (Beiranvand et al., 2022)، بارش سنگین منجر به سیلاب فروردین ۱۳۹۸ در حوضه آبریز درود بروجرد را مورد ارزیابی قرار دادند. تحلیل سینوپتیکی این رخداد نشان داد وجود یک ترف عمیق با مرکز بسته بر روی شرق دریای مدیترانه و قرارگیری ایران در بخش جلویی این ترف شرایط را برای ورود سیستم های کم فشار و صعود هوا فراهم آورده است. وزش رطوبتی تراز ۸۵۰ هکتوپاسکال نشان داد منابع تأمین رطوبت بارش سنگین دریای مدیترانه، دریای سرخ و خلیج فارس هستند.

بررسی مطالعات پیشین بیانگر این نکته است که بارش های سنگین وابستگی زیادی به سیستم های سینوپتیک جوی دارند و از سوی دیگر هر منطقه تحت تأثیر سیستم های خاصی می باشد؛ بطوریکه برای تحلیل عوامل بارش های سنگین هر منطقه باید سیستم های تأثیرگذار بر آن منطقه مورد توجه قرار گیرند. از این رو در تحقیق حاضر به شناسایی سیستم های سینوپتیکی منجر به بارش های سنگین در روزهای ۱۷ تا ۲۱ مارس ۲۰۱۹ حوضه آبریز گرگانرود در استان گلستان که باعث ایجاد سیل و خسارات سنگین در این استان گردید، پرداخته می شود.

مواد و روش ها

منطقه مورد مطالعه تحقیق، حوضه آبریز گرگانرود می باشد که بیشتر مساحت آن در استان گلستان واقع شده است. استان گلستان یکی از استان های شمالی کشور می باشد و در جنوب شرق دریاچه خزر

دایان و همکاران (Dayan et al., 2015)، شرایط جوی منجر به بارش های حدی در غرب و شرق مدیترانه را برر سی کردند. ایشان به این نتیجه رسیدند که رطوبت مورد نیاز همرفت های شدید نه تنها از دریای مدیترانه بلکه از مناطق دورد ست نیز تأمین می شود. رطوبت از طریق سیستم های سینوپتیکی در لایه های میانی تروپوسفر منتقل می شود. گاهی بارش های شدید مدیترانه ناشی از ترکیب چندین سیستم جوی در مقیاس های مختلف است (از جمله همرفت محلی، سیستم های سینوپتیک و همرفت میان مقیاس). فلونی و همکاران (Feloni et al., 2016)، عوامل سینوپتیکی وقوع بارش های سنگین فصلی در منطقه آنیکای ایتالیا را مطالعه کردند. نتایج این مطالعه نشان داد در رخداد بارش های پاییزی، گردش سیکلونی از تراز های میانی تا سطوح پایینی جو تشکیل می شود، بخصوص در سطوح ۸۵۰ و ۹۲۵ هکتوپاسکالی گردش سیکلونی بسته بر روی مرکز ایتالیا شکل می گیرد. شرایط مذکور در فصل زمستان گسترده تر می شود. بالتاجی و همکاران (Baltaci et al., 2017)، سیل ۲۴ آگوست ۲۰۱۵ در منطقه آرتوین ترکیه را از نظر عوامل هوا شناسی مورد ارزیابی قرار داد. نتایج نشان دادند استقرار یک کم فشار بریده بر روی شرق دریای سیاه منجر به همگرایی رطوبت در سطوح پایین جو شد و علاوه بر آن انتقال رطوبت توسط جریان های گرم شمالی از طریق دریای سیاه و جریان های خنک جنوبی شرایط ناپایدار جوی را تشدید کرده و با ایجاد سلول های همرفتی بارش شدید به وقوع پیوست. ژنگ و همکاران (Zheng et al., 2022)، کانون بارش های سنگین کوتاه مدت سواحل جنوبی چین را بررسی کردند. نتایج نشان دادند بارش های سنگین عمدتاً در مناطق ساحلی رخ می دهند و توپوگرافی نقش مهمی در موقعیت کانون های بارش سنگین دارد.

قویدل رحیمی و حانمی (Gavidel Rahimi and Hatami, 2016) عوامل سینوپتیکی منجر به بارش سنگین ۸ اسفند ۱۳۸۸ ایوانغرب را برر سی کردند. نتایج این تحقیق نشان داد مراکز کم فشار واقع بر روی ایران در سطح زمین و ترف عمیق مستقر بر روی خاورمیانه که ایران در قسمت شرق این ناوه قرار گرفته بود، همچنین تشکیل سردچال انباشته از هوای سرد و مرطوب و جریان رود باد قوی و ایجاد واگرایی در ستون فوقانی جو از عوامل اصلی صعود هوا و بارش سنگین بودند. امیدوار و همکاران (Omidvar et al., 2018)، به تحلیل سینوپتیکی-دینامیکی بارش های سنگین روزهای ۵ الی ۸ آبان ۱۳۹۴ در استان کرمانشاه پرداختند. تحلیل ها نشان دادند گرادیان شدید فشار بین کم فشار سودانی و پرفشار اروپایی عامل اصلی ایجاد ناپایداری شدید جوی بود. همچنین ریزش هوای سرد عرض های بالا، انتقال رطوبت از عرض های پایین و وجود رود باد قوی در سطح ۲۵۰ هکتوپاسکالی بر فراز منطقه از عوامل تشدید کننده بارش بودند. حبیبی و همکاران (Habibi et al., 2019) عوامل سینوپتیکی-

شرایط فیزیکی حوضه بررسی شد. در ادامه با استفاده از داده های بازتحلیل شده پایگاه NCEP/NCAR (مرکز ملی پیش بینی محیطی-مرکز ملی پژوهش های جوی ایالات متحده) نقشه های سینوپتیکی شامل نقشه های ارتفاع ژئوپتانسیل تروپوسفر میانی و زیرین، چرخندگی نسبی، امگا، سمت و سرعت باد، تابع همگرایی شار رطوبت، تابع جبهه زایی، رطوبت ویژه و نمودار هوف-مولر جهت بررسی شرایط سینوپتیکی-دینامیکی تروپوسفر میانی و زیرین و همچنین شناسایی وضعیت رطوبتی و منابع تأمین آن، ترسیم و مورد تحلیل قرار گرفتند. سپس با استفاده از محصولات ماهواره MODIS-Aqua (تصاویر طیف مرئی، ضخامت نوری ابر و فشار قله ابر) شرایط ابرناکی و نوع ابرهای در زمان رخداد بارش سنگین بررسی شد.

نتایج و بحث

شناسایی توزیع زمانی و مکانی بارش ها

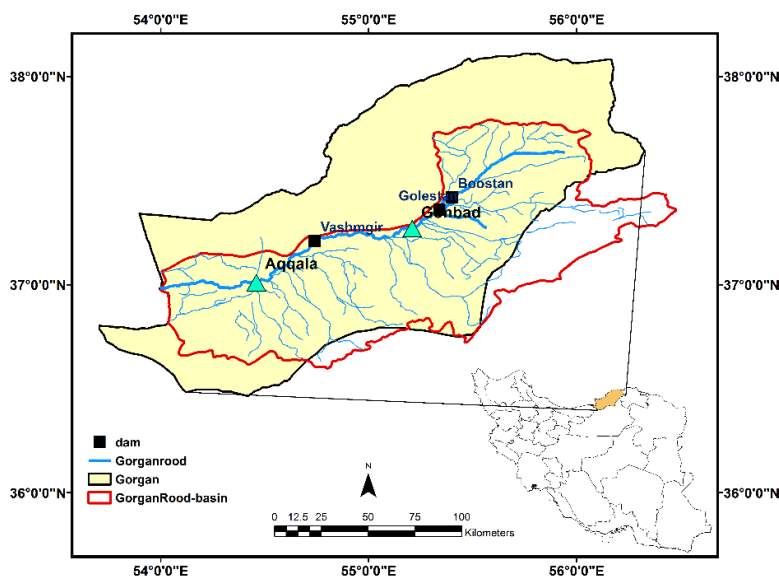
بارش منجر به سیل در ماه مارس ۲۰۱۹ در استان گلستان از هفده مارس آغاز شد و تا بیست و یکم مارس ادامه داشت. به منظور شناسایی زمان اوج بارش ها طی این چند روز، آمار بارش ایستگاه های هواشناسی واقع در حوضه گرگانرود بررسی شد. بارش ۲۴ ساعته چند ایستگاه منتخب از هفدهم تا بیست و یکم مارس در شکل ۲ ارائه شده است.

واقع شده است. گرگانرود یکی از رودخانه های شمال شرق ایران است. این رود از رشته کوه آلاداغ در بجنورد سرچشمه گرفته و پس از طی ۲۰۰ کیلومتر و گذشتن از ترکمن صحرا وارد دشت گرگان شده و در نزدیکی بندر ترکمن به دریای خزر می ریزد. در شکل ۱ موقعیت جغرافیای حوضه گرگانرود، شبکه آبراهه ها، سدهای واقع بر روی گرگانرود و شهرهای گنبد کاووس و آق قلا که تحت تأثیر سیل قرار داشتند، نشان داده شده است.

در این تحقیق به منظور شناسایی و تحلیل بارش سنگین رخ داده در استان گلستان در روزهای پایانی سال ۱۳۹۷ (ماه مارس ۲۰۱۹) که منجر به سیل شدید گردید، از چندین نوع داده استفاده شد (داده های ایستگاه های هواشناسی، داده های بازتحلیل شده NCEP/NCAR، محصولات ماهواره ای MODIS، محصولات بارشی GPM).

ابتدا با استفاده از داده های بارش ایستگاه های سینوپتیک واقع در حوضه آبریز گرگانرود، زمان وقوع بارش سنگین شناسایی شد و سپس با استفاده از داده های ایستگاه های مذکور و چندین ایستگاه خارج از حوضه، نقشه بارش تهیه گردید. مشخصات ایستگاه های مورد استفاده در جدول ۲ آورده شده است.

با استفاده از محصولات بارشی ماهواره GPM با عنوان IMERG که به صورت نیم ساعته استخراج شد و همچنین گزارشات سینوپتیک ایستگاه های هواشناسی که به صورت شش ساعته گزارش می شوند، شدت بارش مورد بررسی قرار گرفت. علاوه بر آن، با استفاده از نقشه توپوگرافی و شیب حوضه تهیه شده از لایه DEM منطقه،



شکل ۱- موقعیت جغرافیایی استان گلستان و حوضه آبریز گرگانرود

Figure 1- Geographical location of Golestan province and Gorganrood watershed

جدول ۲- مشخصات ایستگاه‌های هواشناسی مورد استفاده در تحقیق

Table 2- Meteorological stations used in the research

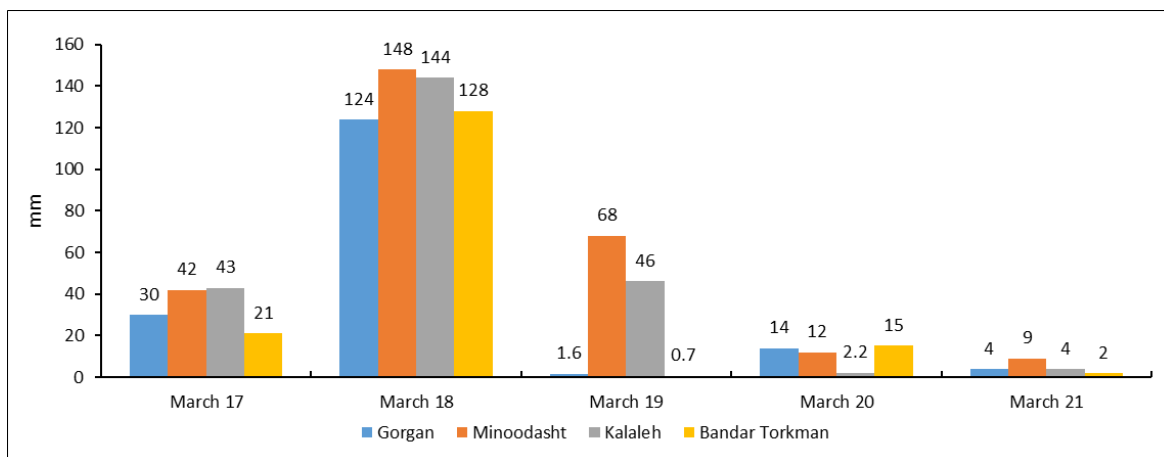
نام ایستگاه Station Name	عرض جغرافیایی Lat	طول جغرافیایی Lon	ارتفاع Elevation
بندر ترکمن BandarTorkman	36.9	54.07	-20
پارک ملی گلستان Park Meli Golestan	37.22	55.56	735
علی آباد Aliabad	36.9	54.88	184
قپان Ghapan	37.64	55.71	314
کلاله Kalaleh	37.39	55.46	128
گرگان Gorgan	36.91	54.41	0
گنبد کاووس GonbadKavoos	37.27	55.21	37
مینودشت Minoodasht	37.37	55.63	223
هاشم آباد Hashemabad	36.85	54.30	13
کارکنده Karkandeh	36.76	54.30	110
کردکوی Kordkooy	36.82	54.11	3
رضوان Rezvan	37.11	55.80	1356
مراوه تپه* MaravehTappeh	37.80	55.94	460
بندر گز* BandarGaz	36.77	53.95	-14
اینچه برون* Incheborun	37.45	54.72	7
دامغان* Damghan	36.15	54.32	1155
جاجرم* Jajrood	36.95	56.33	984
میامی* Meyami	36.41	55.63	1081
شاهرود* Shahrood	36.38	54.93	1325

*ایستگاه‌هایی که خارج حوضه آبریز گرگانرود قرار دارند و برای درونیابی بارش استفاده شدند

*The stations that are outside the Gorganrood catchment and were used to interpolate precipitation

ساعته سینوپ‌های اصلی بررسی شد و نتایج نشان داد بیشترین مقدار بارش در روز هجدهم مارس به وقوع پیوسته است (جدول ۳). بنابراین نقشه‌های سینوپتیک عمده‌تاً برای زمان اوج بارش یعنی روز هجدهم مارس ترسیم گردیدند.

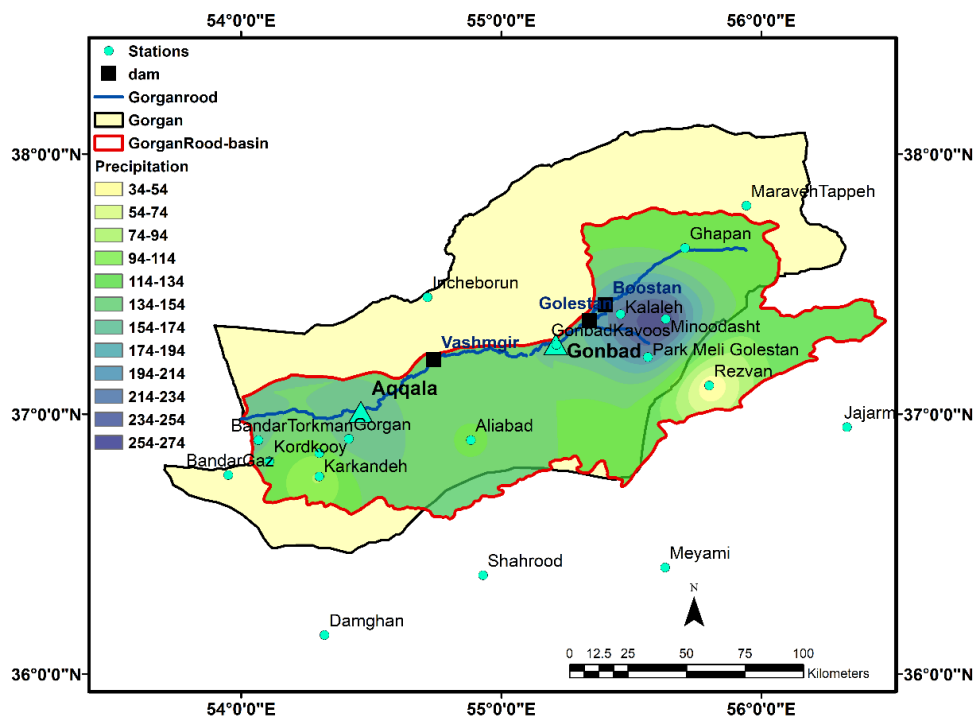
با توجه به نمودار مشاهده می‌شود بیشترین مقدار بارش در روزهای ۱۷، ۱۸ و ۱۹ مارس به ثبت رسیده است؛ بطوریکه در روز ۱۸ مارس بارش‌های بالای ۱۲۰ میلی‌متر طی ۲۴ ساعت مشاهده می‌شود. البته لازم به ذکر است که بارش ۲۴ ساعته برای هر روز از مجموع بارش گزارش شده سینوپ‌های اصلی ایستگاه‌های هواشناسی از ساعت ۰۰ تا ۲۴ همان روز محاسبه شده است. از این رو گزارشات ۶



شکل ۲- نمودار بارش ۲۴ ساعته چند ایستگاه منتخب حوضه گرگانرود از ۱۷ تا ۲۱ مارس ۲۰۱۹
Figure 2- 24-hour precipitation chart of selected stations of Gorganrood basin

بارش سنگین به وقوع پیوسته است؛ بطوری که در اکثر مناطق حوضه میزان بارش بالای ۹۰ میلی متر است. همچنین نقشه مذکور نشان می دهد بیشترین مقدار بارش که بیش از ۲۵۰ میلی متر است در ناحیه ایستگاه های کلاله، مینودشت و پارک ملی گلستان رخ داده است.

پس از شناسایی زمان وقوع بارش سنگین، اقدام به شناسایی توزیع مکانی بارش ها گردید. بدین منظور مجموع بارش هفدهم تا بیست و یکم مارس در حوضه گرگانرود ترسیم گردید (شکل ۳). نقشه مجموع بارش نشان می دهد طی این چند روز در اکثر مناطق حوضه،



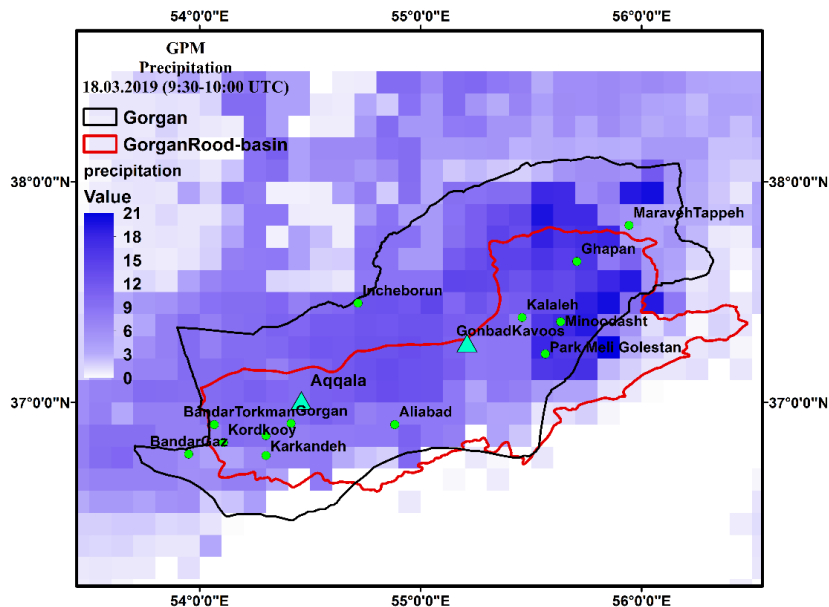
شکل ۳- نقشه مجموع بارش طی روزهای ۱۷ تا ۲۱ مارس ۲۰۱۹ در حوضه گرگانرود
Figure 3- Total rainfall during March 17-21, 2019 in Gorganrood basin

بارش ۶ ساعته برای زمان اوج بارش در جدول ۳ ارائه شده‌اند. بررسی میزان بارش‌های ۶ ساعته نشان می‌دهد در روز هجدهم و نوزدهم در ساعات‌های ۰۶ تا ۱۲ و ۱۲ تا ۱۸ بارش‌های بسیار شدیدی رخ داده است؛ مثلاً در برخی ایستگاه‌ها بارش‌های ۴۹، ۶۹، ۸۳ و ۸۷ میلی‌متر طی ۶ ساعت مشاهده می‌شوند که در گزارشات هواشناسی این میزان بارش جزء بارش‌های بسیار شدید طبقه‌بندی می‌شود.

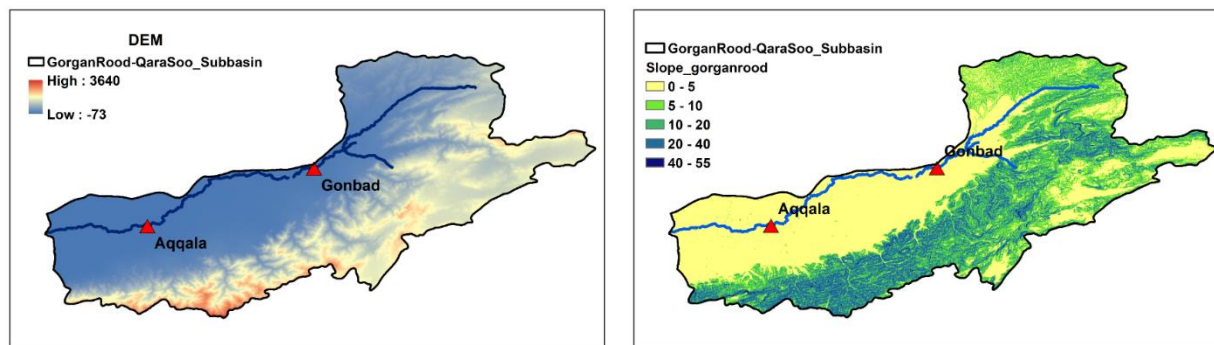
در وقوع سیلاب شدت بارش یعنی مقدار بارش نسبت به مدت زمان بارش از عوامل مهم به شمار می‌رود. برر سی بارش ۲۴ ساعته نشان داد که طی روزهای ۱۷، ۱۸ و ۱۹ مارس بارش‌های سنگینی به وقوع پیوسته است. اما جهت برر سی دقیق‌تر زمان اوج بارش و شدت بارش در فواصل زمانی کمتر از ۲۴ ساعت، از گزارشات سینوپ‌های اصلی هواشناسی میزان بارش ۶ ساعته استخراج گردید که مقدار

جدول ۳- داده‌های بارش ۶ ساعته چهار ایستگاه منتخب حوضه گرگانرود استخراج شده از گزارشات هواشناسی برای زمان اوج بارش
Table 3- 6-hour rainfall data of four selected stations of Gorganrood basin extracted from meteorological reports for peak rainfall time

تاریخ Date	ساعت به وقت جهانی UTC	گرگان Gorgan	مینودشت Minoodasht	کلاله Kalaleh	بندر ترکمن BandrTorkman
۱۷ مارس March 17	00-06	0	0	0	0
	06-12	0	0	0	0
	12-18	3	5	1	0.7
	18-00	27	37	42	20
۱۸ مارس March 18	00-06	28	8	7	69
	06-12	49	87	83	36
	12-18	43	30	34	20
	18-00	4	23	20	3
۱۹ مارس March 19	00-06	1	30	22	0.4
	06-12	0.4	30	19	0.3
	12-18	0.2	7	0.8	0
	18-00	0	0.7	4	0



شکل ۴- تصویر محصول ماهواره GPM برای بارش از ساعت ۹:۳۰ تا ۱۰:۰۰ (به وقت جهانی) روز ۱۸ مارس ۲۰۱۹
Figure 4- GPM satellite product image for rainfall from 9:30 to 10:00 (UTC) on March 18, 2019



شکل ۵- نقشه طبقه بندی شیب (الف) و توپوگرافی (ب) حوضه گرگانرود
Figure 5- Slope classification (a) and topography (b) of Gorganrood basin

بسته در شرق مدیترانه شکل گرفته که در روز پانزدهم (شکل ۶ ب) با حرکت شرق سو از ناحیه غربی وارد ایران شده است. در همین روز، تراف دیگری به دنبال تراف قبلی بر روی مدیترانه در حال شکل گیری می باشد و آرایش منحنی های هم ارتفاع بیانگر تشکیل یک موج راسبی با مقیاس بزرگ بر روی شرق اروپا و غرب خاورمیانه می باشد. به عبارت دیگر در روز پانزدهم، موج راسبی دارای دو تراف است که یکی بر روی غرب ابران و دیگری بر روی غرب مدیترانه قرار دارند. در این روز تراف اول با ایجاد چرخندگی مثبت منجر به ناپایداری و بارش های پراکنده در حوضه آبریز گرگانرود شده است. در روز ۱۶ مارس (شکل ۶ پ) همزمان با حرکت شرق سوی موج راسبی، تراف واقع بر روی غرب ایران ضمن یک حرکت شمال شرق سو تضعیف شده و از مرزهای شمال شرقی کشور خارج می شود، اما تراف واقع بر روی شرق مدیترانه با گسترش نصف النهاری موج راسبی عمیق تر شده و با حرکت به سمت شرق در بستر موج راسبی در روز هفدهم مارس (شکل ۶ ت) تمام سطح کشور را تحت سیطره خود درآورده است، بطوریکه در اواخر روز هفدهم منطقه مورد مطالعه در شمال شرق کشور تحت نفوذ آن قرار گرفته است. ناحیه چرخندگی مثبت در سراسر محور تراف ایجاد شده و مرکز بی شینه آن در مرکز تراف قرار دارد و در حال نزدیک شدن به منطقه مورد مطالعه می باشد. طبق داده های بارش شش ساعته بارندگی ها در استان گلستان از حوالی ساعت ۱۸ روز هفدهم مارس همزمان با ایجاد چرخندگی مثبت در منطقه آغاز شده است. در روز هجدهم مارس (شکل ۶ ث) مرکز تراف با حرکت شمال شرقی از مرکز ایران به سمت شمال شرق کشور انتقال یافته است. اکنون محور تراف حالت شمال غربی- جنوب شرقی دارد و با ریزش هوای سرد عرض های شمالی به عرض های جنب حاره ای، شکل گیری پدیده بندال و یک سردچال (کم ارتفاع بریده) با کنتور بسته داخلی ۵۵۲۰ ژئوپتانسیل متر در منتهی الیه جنوب شرقی دریای خزر را موجب گشته است.

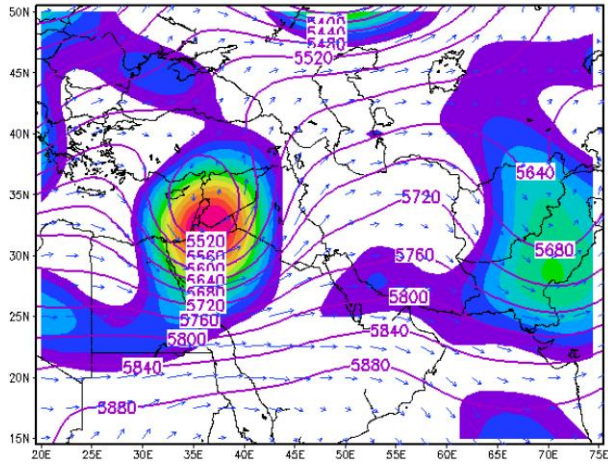
علاوه بر بارش ۶ ساعته، برای بررسی شدت بارش در مقیاس زمانی کمتر از ۶ ساعت از محصولات بارش نیم ساعته ماهواره GPM استفاده گردید. در شکل ۴ یک نمونه از تصاویر بارش نیم ساعته در بازه زمانی ۹:۳۰ تا ۱۰:۰۰ (به وقت جهانی) روز هجدهم مارس ارائه شده است. همانطور که این شکل نشان می دهد در حوضه گرگانرود طی نیم ساعت بارش قابل توجهی باریده است بویژه در ناحیه ایستگاه های کالاله، مینودشت و پارک ملی گلستان که تا ۲۰ میلی متر نیز می رسد و این میزان جزء بارش های بسیار شدید حساب می شود. از عوامل دیگر در وقوع سیلاب توپوگرافی و شیب حوضه می باشد. بررسی نقشه توپوگرافی منطقه نشان می دهد رودخانه گرگانرود در دشتی با ارتفاع پایین که در کنار کوه های مرتفع قرار گرفته، جریان دارد؛ بطوریکه اختلاف ارتفاع دشت با قله کوه ها به بیش از ۳۰۰۰ متر می رسد (شکل ۵ الف). از سوی دیگر نقشه شیب نشان می دهد حوضه گرگانرود بگونه ای است که کوه های مرتفع با شیب زیاد در حاشیه دشتی پست با شیب بسیار کم (کمتر از ۵ درصد) واقع شده اند (شکل ۵ ب). از این رو پتانسیل وقوع سیلاب در این حوضه زیاد است و همانطور که در زمان وقوع سیلاب مورد مطالعه رخ داد، بدلیل شیب اندک مسیر گرگانرود و قرارگیری شهرهای مختلف در حاشیه آن (از جمله گنبد کاووس و آق قلا) در صورت وقوع بارش سنگین و سیلاب، آبگرفتگی ماندگاری زیادی در این منطقه خواهد داشت.

وضعیت سینوپتیکی-دینامیکی تروپوسفر میانی

با هدف شناسایی منشأ سیستم های سینوپتیکی بارش زا و نحوه تأثیر گذاری آنها بر منطقه مورد مطالعه که منجر به سیل گردید، وضعیت سینوپتیکی تروپوسفر میانی از چند روز قبل از شروع بارش ها تا زمان خاتمه آن مورد بررسی قرار گرفت. بدین منظور نقشه ارتفاع ژئوپتانسیل تراز ۵۰۰ هکتوپاسکال به همراه چرخندگی نسبی از روز چهاردهم تا بیست و دوم مارس ترسیم گردید (شکل ۶).

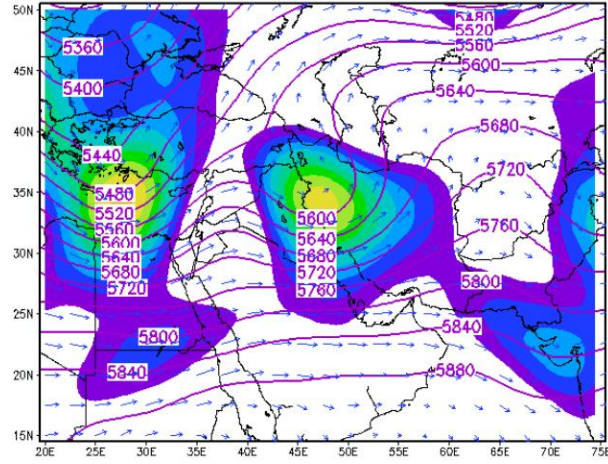
در روز ۱۴ مارس (شکل ۶ الف)، ترفانی نه چندان عمیق با مرکز

06z14mar2019 500 GPH



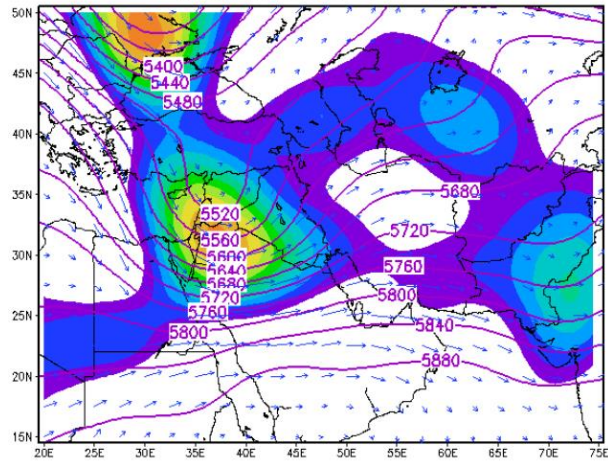
الف

06z15mar2019 500 GPH



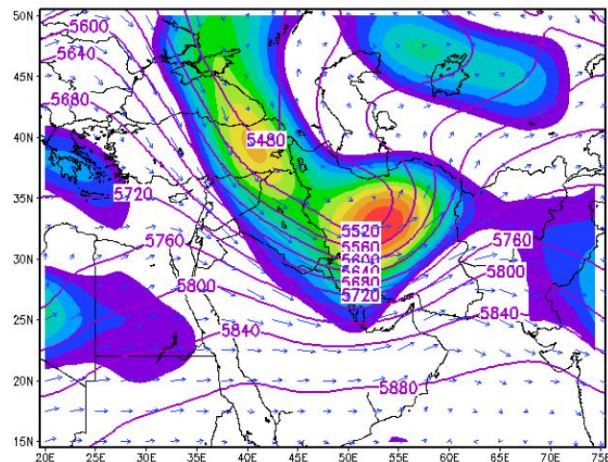
ب

18z16mar2019 500 GPH



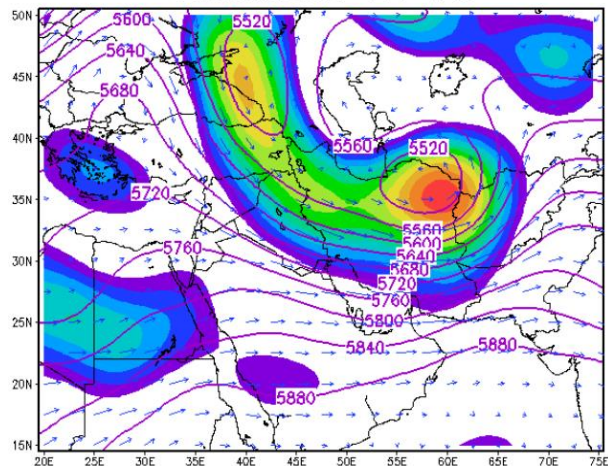
پ

18z17mar2019 500 GPH



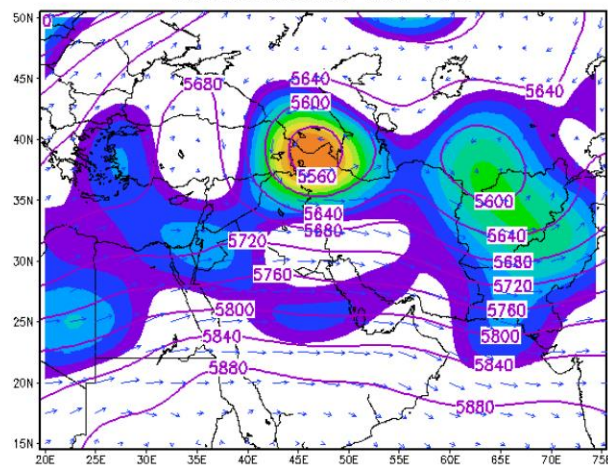
ت

06z18mar2019 500 GPH

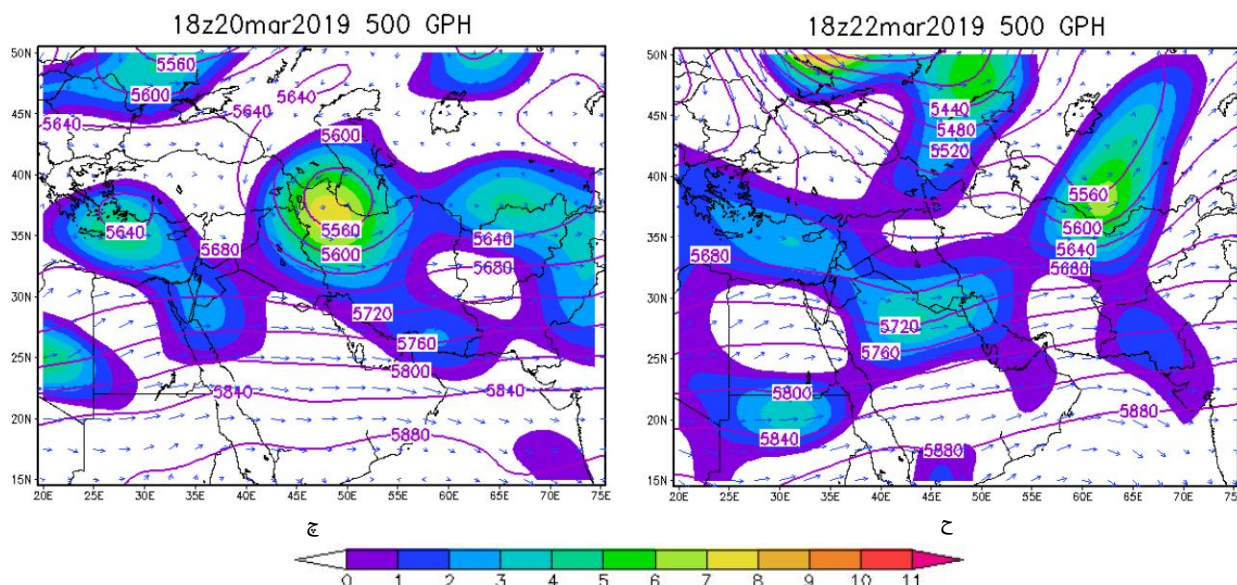


ث

18z19mar2019 500 GPH



ج



شکل ۶- وضعیت سینوپتیکی- دینامیکی تروپوسفر میانی از ۱۴ الی ۲۱ مارس ۲۰۱۹: ارتفاع تراز ۵۰۰ هکتوپاسکال بر حسب ژئوپتانسیل متر (خطوط بنفش رنگ با فاصله ۴۰ ژئوپتانسیل متر)، بردارهای باد و چرخندگی نسبی (طیف رنگی)

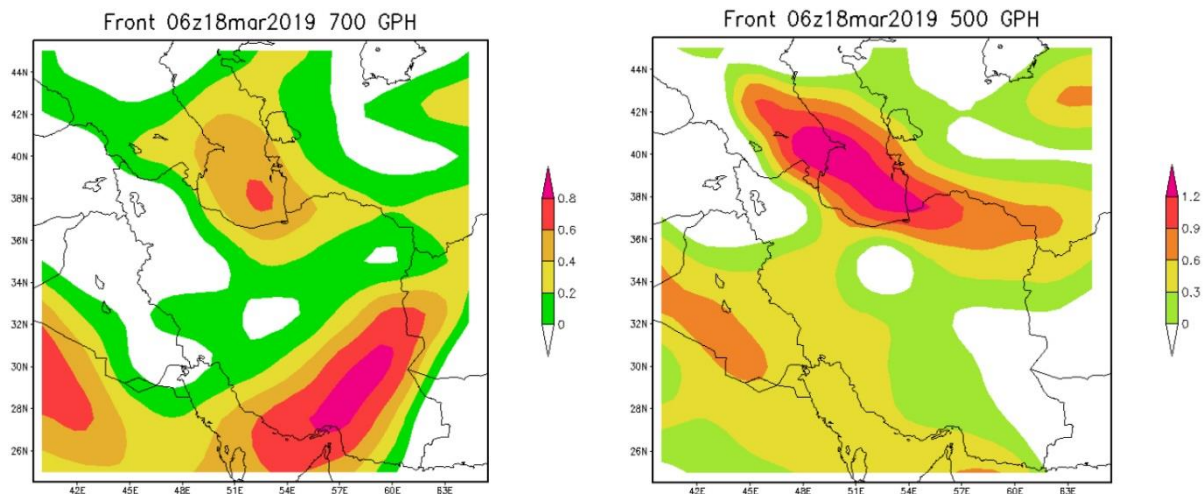
Figure 6- Synoptic-dynamic state of the middle troposphere from March 14 to 21, 2019: 500 hPa level height in geopotential meters (purple lines with a distance of 40 gpm), wind vectors and relative vorticity (color spectrum)

تراز فشاری ۸۵۰ هکتوپاسکال برای بررسی وضعیت سینوپتیکی- دینامیکی تروپوسفر زیرین انتخاب گردید. در این تراز خطوط هم‌ارتفاع توأم با متغیر امگا، خطوط هم‌دما و بردارهای باد چند روز قبل از بارندگی تا اتمام بارش‌ها مورد بررسی قرار گرفت و به دلیل حجم زیاد نقشه‌ها، مهم‌ترین نقشه‌ها در روزهای ۱۷، ۱۸ و ۱۹ مارس در شکل ۷ ارائه شد. امگا بیانگر حرکات عمودی جو بر حسب پاسکال بر ثانیه است که مقادیر منفی آن سرعت قائم بالاسوی هوا را نشان می‌دهد. قبل از شروع بارش در روز ۱۷ مارس (شکل ۸ الف)، با ورود زبان‌های کم‌ارتفاع از سمت شمال غرب کشور در بستر موج را سبی، یک مرکز کم‌ارتفاع در غرب کشور با کنتور بسته ۱۴۰۰ ژئوپتانسیل‌متر در حال شکل‌گیری است. خطوط هم‌دما و بردارهای باد بیانگر فرارفت هوای سرد عرض‌های شمالی به سوی عرض‌های جنوبی در منطقه غرب کشور می‌باشند. مرکز کم‌ارتفاع طی ساعات بعدی، ضمن گسترش با حرکت شرق سو نواحی شمالی کشور را در بر گرفته است (شکل ۸ ب) و منجر به ایجاد چرخش سیکلونی و ایجاد شرایط صعود هوا گشته است. استیلای امگای منفی بر شمال کشور و قرارگیری مرکز بیشینه آن در ناحیه مرکز کم‌ارتفاع گفته قبلی را مورد تأیید قرار می‌دهد. در روز ۱۸ مارس (شکل ۸ پ) در زمان اوج بارش‌ها، مرکز کم‌ارتفاع با کنتورهای بسته (کنتور مرکزی ۱۳۶۰ ژئوپتانسیل‌متر) همراه با مرکز بیشینه امگای منفی بر فراز منطقه مورد مطالعه چیره گشته است. بردارهای باد در اطراف کم‌ارتفاع چرخش سیکلونی را نشان می‌دهند.

همچنین یک کم‌ارتفاع بسته دیگری در غرب دریای خزر در ناحیه محور تراف تشکیل یافته است. قابل ذکر است که بیشترین مقدار بارش در روز ۱۸ مارس در زمان استیلای مرکز تراف (کم‌ارتفاع بریده) و چرخندگی مثبت بر فراز استان گلستان به وقوع پیوسته است. در روز ۱۹ مارس (شکل ۶ ج) موج راسبی و تراف حاصل از آن تضعیف شده و کم‌ارتفاع بریده مرکز آن از مرزهای شمال شرقی در حال خارج شدن است. از سوی دیگر کم‌ارتفاع بریده واقع در غرب خزر در بستر موج راسبی حرکت شرقی و جنوب‌شرقی دارد و در روزهای ۲۰ و ۲۱ مارس (شکل ۶ چ) در منطقه مورد مطالعه فعالیت داشته و در روز ۲۲ مارس (شکل ۶ ح) ضمن تضعیف از منطقه خارج شده است.

شرایط سینوپتیکی تروپوسفر میانی نشان داد در زمان رخداد بارش‌ها ترفای عمیق بر روی منطقه مستقر بوده و سبب ریزش هوای سرد به منطقه مورد مطالعه شده است که این مسئله می‌تواند منجر به تشکیل جبهه‌های هوا در منطقه گردد. از این رو، پتانسیل ایجاد جبهه در منطقه با استفاده از تابع جبهه‌زایی مورد بررسی قرار گرفت (شکل ۷). تابع جبهه‌زایی بر اساس افزایش گرادیان افقی دما ناشی از تغییرات سمت و سرعت باد محاسبه می‌شود و مقادیر مثبت آن مکان‌های مستعد ایجاد جبهه را نشان می‌دهند. تابع جبهه‌زایی برای زمان اوج بارش یعنی ۱۸ مارس در ترازهای ۵۰۰ و ۷۰۰ هکتوپاسکالی نشان می‌دهد شرایط جبهه‌زایی در منطقه مورد مطالعه به ویژه در مسیر ورود هوای سرد بر روی جنوب دریای خزر، فراهم است.

وضعیت سینوپتیکی-دینامیکی تروپوسفر زیرین



شکل ۷- تابع جبهه‌زایی در ترازهای ۷۰۰ و ۵۰۰ هکتوپاسکالی
Figure 7- Frontogenesis Function at 700 to 500 hpa levels

ساعت ۰۰ روز ۱۸ مارس (شکل ۹ پ) همچنان جریانات شمال سو از عرض‌های جنوبی تا شمال شرق ایران جریان دارند و در این منطقه چرخش سیکلونی قوی برقرار است و زبانه مرکز بیشینه رطوبت ویژه منطقه مورد مطالعه را در بر گرفته است که حاکی از ورود رطوبت به این منطقه می‌باشد. در ساعت ۰۶ روز ۱۸ مارس (شکل ۹ ت) محور بیشینه رطوبت به تبعیت از جریان هوا حالت جنوب غربی-شمال شرقی دارد و از منطقه مورد مطالعه فاصله گرفته است و از سواحل غربی اقیانوس هند تا مناطق شمالی پاکستان و افغانستان کشیده شده است. با این وجود جریانات سیکلونی رطوبت مناطق مذکور و سایر مناطق از جمله دریای خزر را به مناطق شمال شرق ایران منتقل کرده و یک مرکز بیشینه رطوبت در آن ایجاد کرده‌اند.

برای شناسایی دقیق‌تر منابع رطوبتی بارش‌های سنگین در حوضه آبریز گرگانرود، متوسط همگرایی شار رطوبت از تراز ۱۰۰۰ تا ۷۰۰ هکتوپاسکال در زمان‌های مشابه شکل ۹ به همراه بردارهای میدان باد ترسیم گردیدند (شکل ۱۰). مقادیر مثبت شار رطوبت در یک منطقه بیانگر فزونی رطوبت ورودی بر رطوبت خروجی و در نتیجه افزایش رطوبت در آن منطقه است و مقادیر منفی خروج رطوبت را نشان می‌دهند.

در ساعت ۱۲ روز ۱۷ مارس (شکل ۱۰ الف) مرکز بیشینه مثبت همگرایی شار رطوبت در مرکز ایران و مرکز بیشینه منفی بر روی خلیج فارس واقع شده‌اند و بردارهای باد مسیر انتقال رطوبت خلیج فارس به داخل ایران را نشان می‌دهند. چند ساعت بعد در ساعت ۱۸ جریانات با عبور از خلیج فارس و دریای عمان به سمت شمال شرق کشور در جریان هستند و مرکز بیشینه همگرایی شار رطوبت را به شمال شرق کشور منتقل می‌کنند. در ساعات ۰۰ و ۰۶ هجده مارس

تمامی این شرایط حاکی از صعود شدید هوا در ترازهای زیرین جو می‌باشد. در روز ۱۹ مارس (شکل ۸ ت) مرکز کم ارتفاع از منطقه مورد مطالعه خارج شده است و زبانه‌ای از آن با کنتور ۱۴۸۰ ژئوپتانسیل متر بر روی منطقه فعال است، همچنین از شدت امگای منفی کاسته شده است.

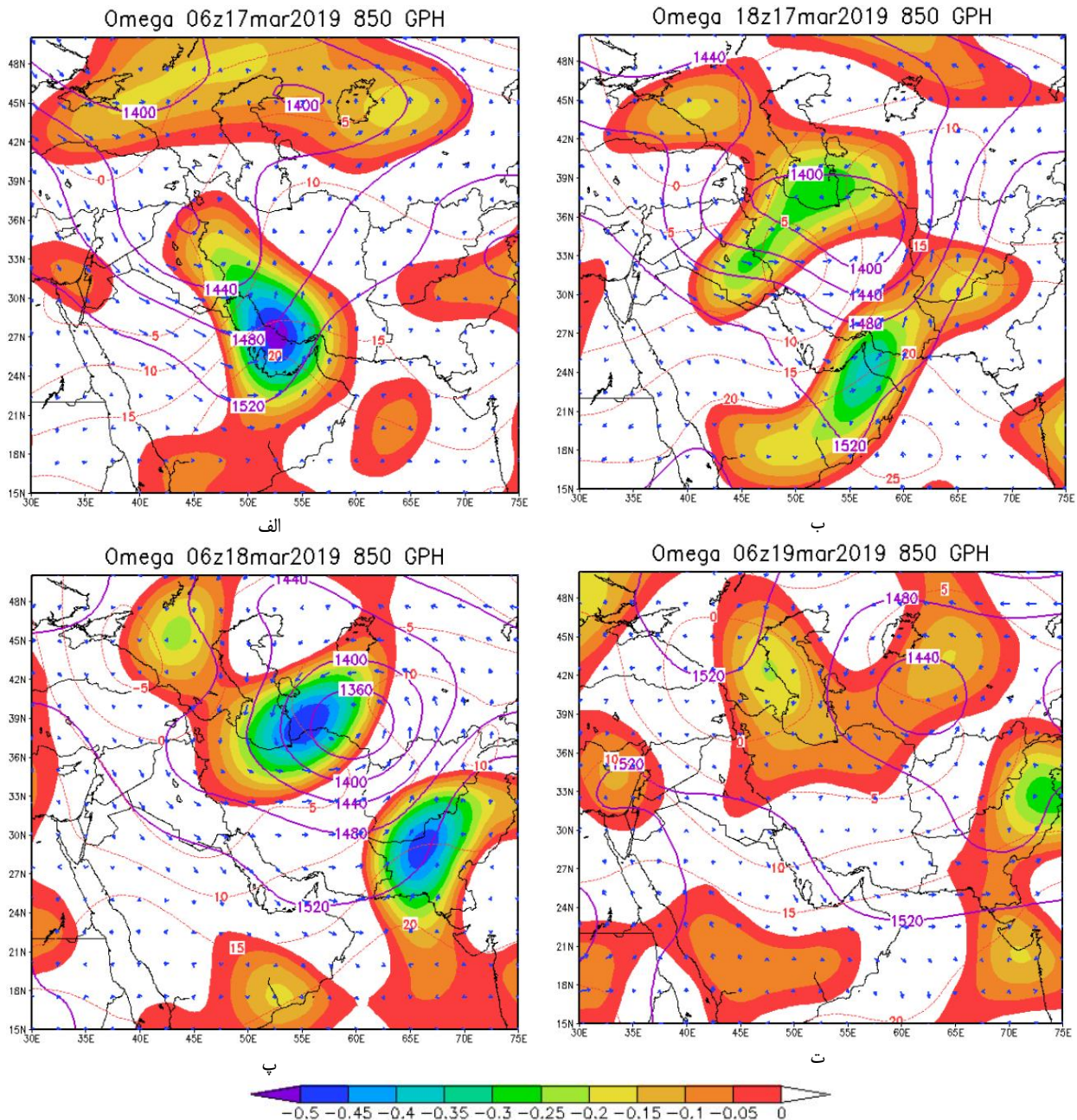
بررسی منابع رطوبت

در بخش قبلی یکی از عوامل اصلی بارش یعنی عامل صعود هوا مورد بررسی و تحلیل قرار گرفت. عامل دیگر در وقوع بارش، رطوبت می‌باشد. برای بررسی شرایط رطوبتی در زمان رخداد بارش سنگین و شناسایی منابع رطوبت و مسیرهای انتقال آن به منطقه مورد مطالعه از نقشه‌های رطوبت ویژه و همگرایی شار رطوبت استفاده شد. رطوبت ویژه وزن بخار آب موجود در هر کیلوگرم هوای مرطوب است و همگرایی شار رطوبت میزان همرفت افقی و همگرایی رطوبت را بر حسب گرم بر کیلوگرم در ثانیه بیان می‌کند.

در شکل ۹ متوسط رطوبت ویژه به همراه متوسط جریان هوا برای ترازهای ۱۰۰۰ تا ۷۰۰ هکتوپاسکالی، قبل از شروع بارش تا زمان رخداد بارش سنگین ترسیم شده‌اند. در روز ۱۷ مارس ساعت ۱۲ (شکل ۹ الف) چند ساعت قبل از شروع بارش یک منطقه بیشینه رطوبت در جنوب ایران بر روی تنگه هرمز تا مناطق مرکزی شکل گرفته و جریانات شمال سو از منطقه مذکور تا منطقه مورد مطالعه برقرار است. ساعاتی بعد در ساعت ۱۸ (شکل ۹ ب) منطقه بیشینه رطوبت تحت تأثیر جریان هوا اندکی به سمت شرق جابجا شده و زبانه آن تا مناطق شمال شرق گسترش یافته است. جریان هوا در مناطق شمالی کشور چرخش سیکلونی و حالت همگرایی پیدا کرده است. در

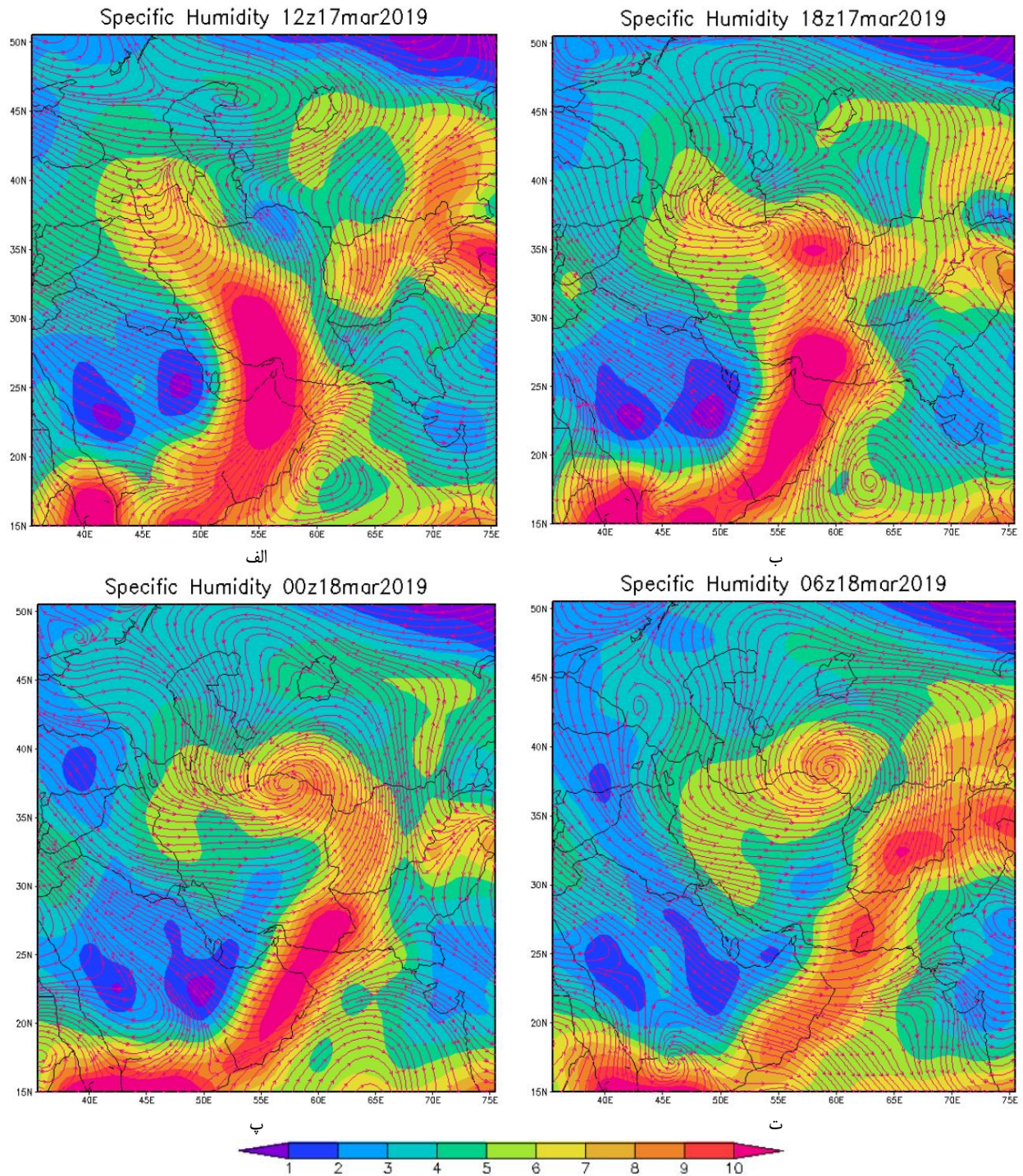
رطوبت را از خلیج فارس، دریای عمان، بخش غربی اقیانوس هند، دریای خزر و مناطق شمالی پاکستان و افغانستان به منطقه مورد مطالعه انتقال می‌دهد. مرکز بیشینه منفی همگرایی رطوبت در ساعات اوج بارش نشان می‌دهد منشأ اصلی رطوبت بارش‌ها دریاهای جنوبی ایران می‌باشند.

(شکل ۱۰ پ و ت) مرکز بیشینه منفی بر روی تنگه هرمز و دریای عمان قرار دارد و به سمت شمال شرق کشیده شده است. از سوی دیگر مرکز بیشینه مثبت به منتهی الیه شمال شرق کشور انتقال یافته و زبانه‌های آن منطقه مورد مطالعه را فرا گرفته‌اند. طی این ساعات حرکت سیکلونی جریان هوا و همگرایی آن در شمال شرق ایران



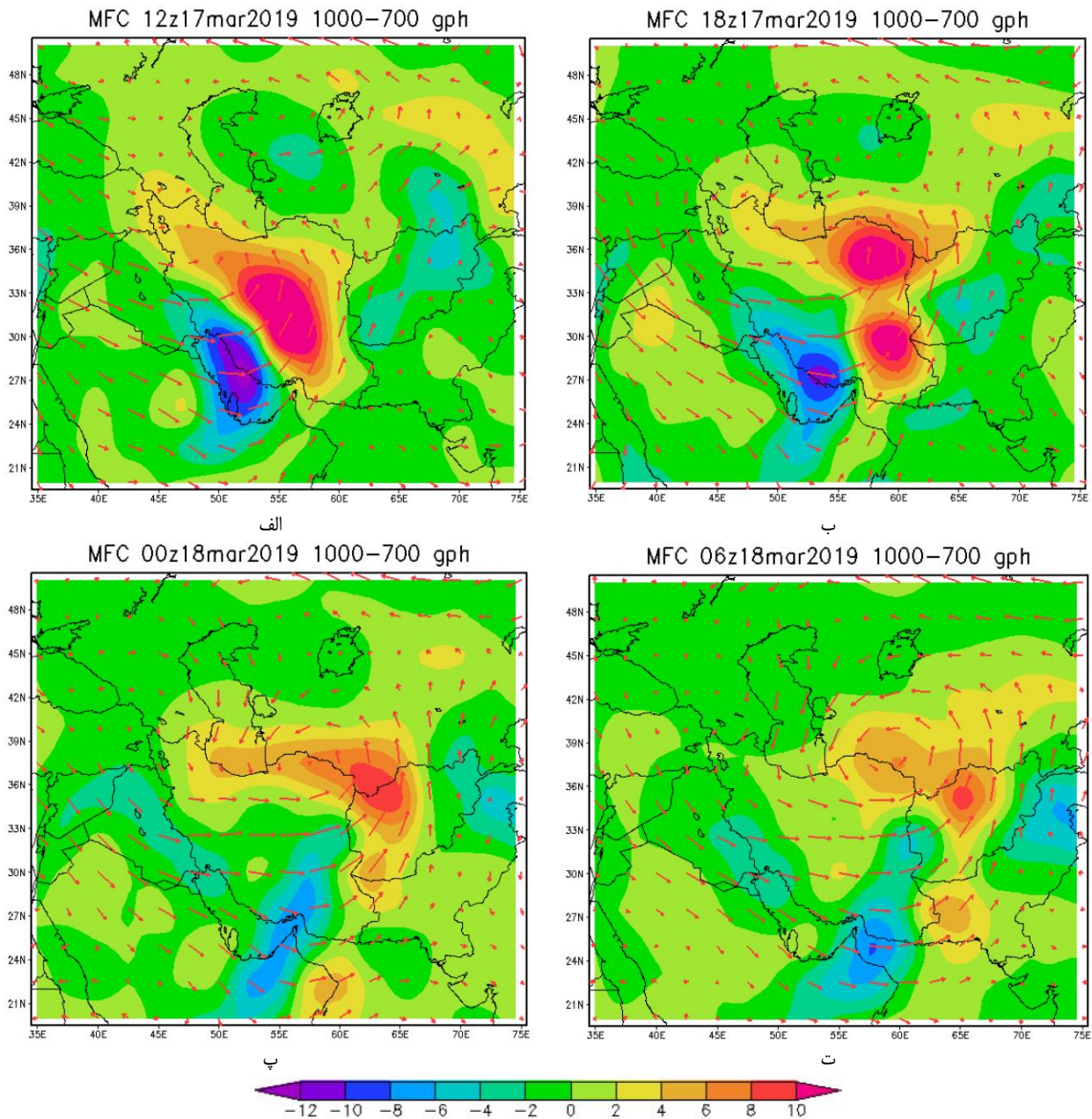
شکل ۸- وضعیت سینودینامیکی-دینامیکی تروپوسفر پایینی: ارتفاع ژئوپتاسیل تراز ۸۵۰ هکتوپاسکال (خطوط بنفش رنگ)، امگا برحسب پاسکال بر ثانیه (طیف رنگی)، خطوط همدمما (قرمز) و بردار باد برای روزهای ۱۷، ۱۸ و ۱۹ مارس ۲۰۱۹

Figure 8- Synoptic-dynamic state of the lower troposphere: 850 hPa level in geopotential meters (purple lines), omega in pas/s (color spectrum), isothermal lines (red) and wind vector for March 17, 18 and 19, 2019



شکل ۹- متوسط رطوبت ویژه (برحسب گرم بر کیلوگرم) و جریان هوا در ترازهای ۱۰۰۰ تا ۷۰۰ هکتوپاسکالی برای روزهای ۱۷ و ۱۸ مارس ۲۰۱۹

Figure 9- Average specific humidity (g/kg) and air flow in the levels of 1000 to 700 hectopascals for March 17 and 18, 2019



شکل ۱۰- همگرایی شار رطوبت بر حسب گرم بر کیلوگرم در ثانیه (طیف رنگی) و بردارهای باد برای روزهای ۱۷ و ۱۸ مارس ۲۰۱۹
Figure 10- Moisture flux convergence in g/kg.s (color spectrum) and wind vectors for March 17 and 18, 2019

برگرفته‌اند و آرایش ابرها بیانگر حرکت سیکلونی موجود در منطقه می‌باشد. برای تشخیص انواع ابرها از ضخامت نوری ابر^۱ و فشار قله ابر^۲ براساس طبقه‌بندی انواع ابر در پروژه^۳ ISCCP استفاده شد. ضخامت نوری ابر تضعیف نور هنگام عبور از عمق ابر به طول واحد در اثر جذب و پراکنش به وسیله ذرات آب و بخار است و در واقع

بررسی ویژگی‌های ابرها و پروفایل قائم جو در زمان رخداد بارش سنگین

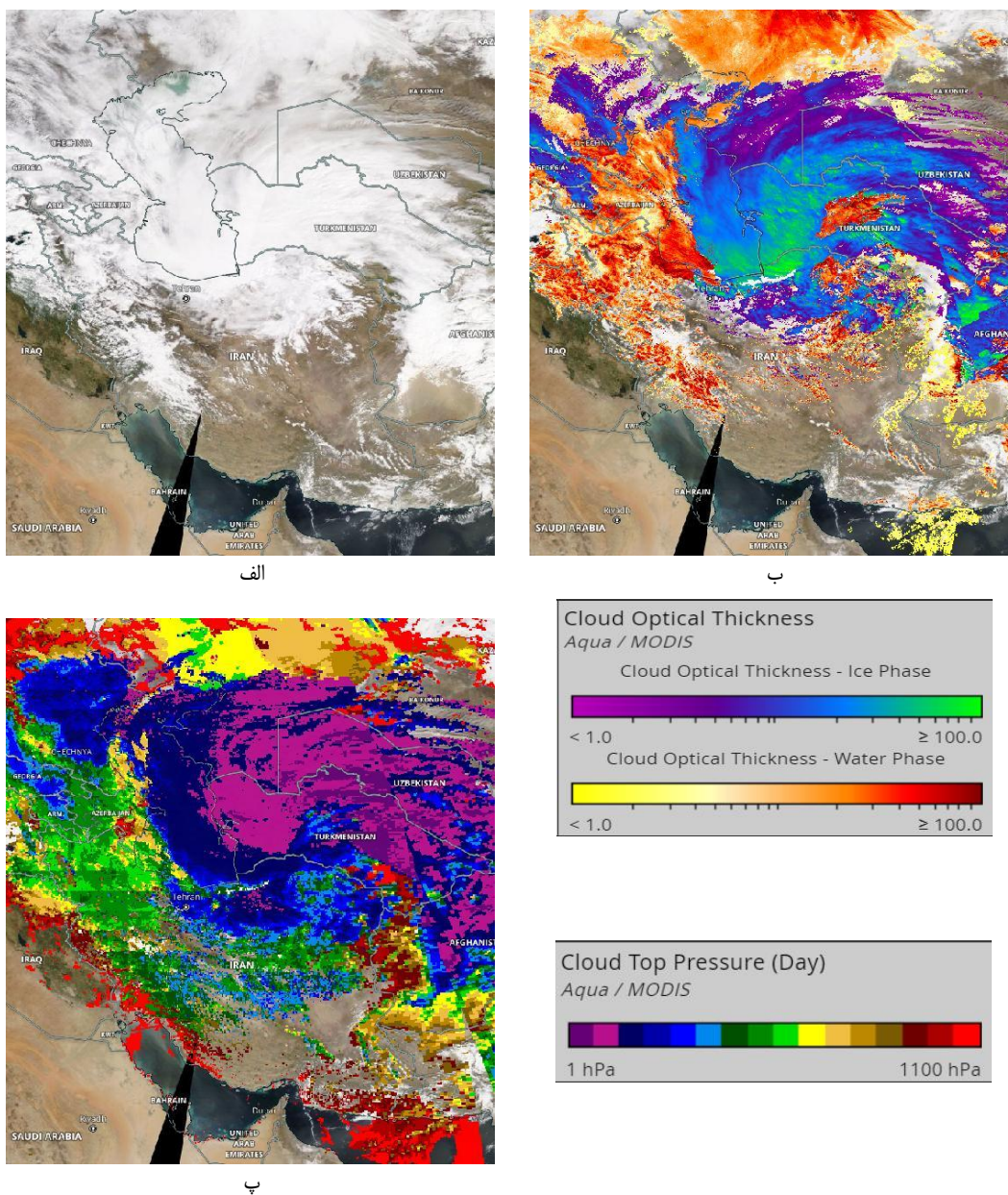
برای بررسی ابرناکی و ویژگی‌های ابرها از محصولات ماهواره MODIS-Aqua استفاده شد. میزان ابرناکی در روز ۱۸ مارس (شکل ۱۱ الف) نشان می‌دهد ابرها کل منطقه فعالیت سیکلون را در

3- International Satellite cloud climatology project

1 . Cloud Optical Thickness
2- Cloud Top Pressure

۱۰۰ واحد نیز رسیده است، از سوی دیگر فشار قله ابر مقادیر بسیار پایینی (حدود ۳۰۰ هکتوپاسکال) در این منطقه دارا می‌باشد. بنابراین طبق طبقه‌بندی ISCCP، ابرهای موجود در منطقه مورد مطالعه عمدتاً از نوع همرفتی عمیق (کومولونیمبوس) هستند.

ضخامت ابر و چگالی آب موجود در آن را نشان می‌دهد. فشار قله ابر میزان فشار بالاترین قسمت ابر را بر حسب هکتوپاسکال بیان می‌کند. طیف رنگی در شکل (۱۱ب) ضخامت نوری ابر و در شکل (۱۱پ) فشار قله ابر را نشان می‌دهد. بر این اساس، ضخامت نوری ابر در منطقه مورد مطالعه بسیار بالاست و در برخی مناطق آن به بالای

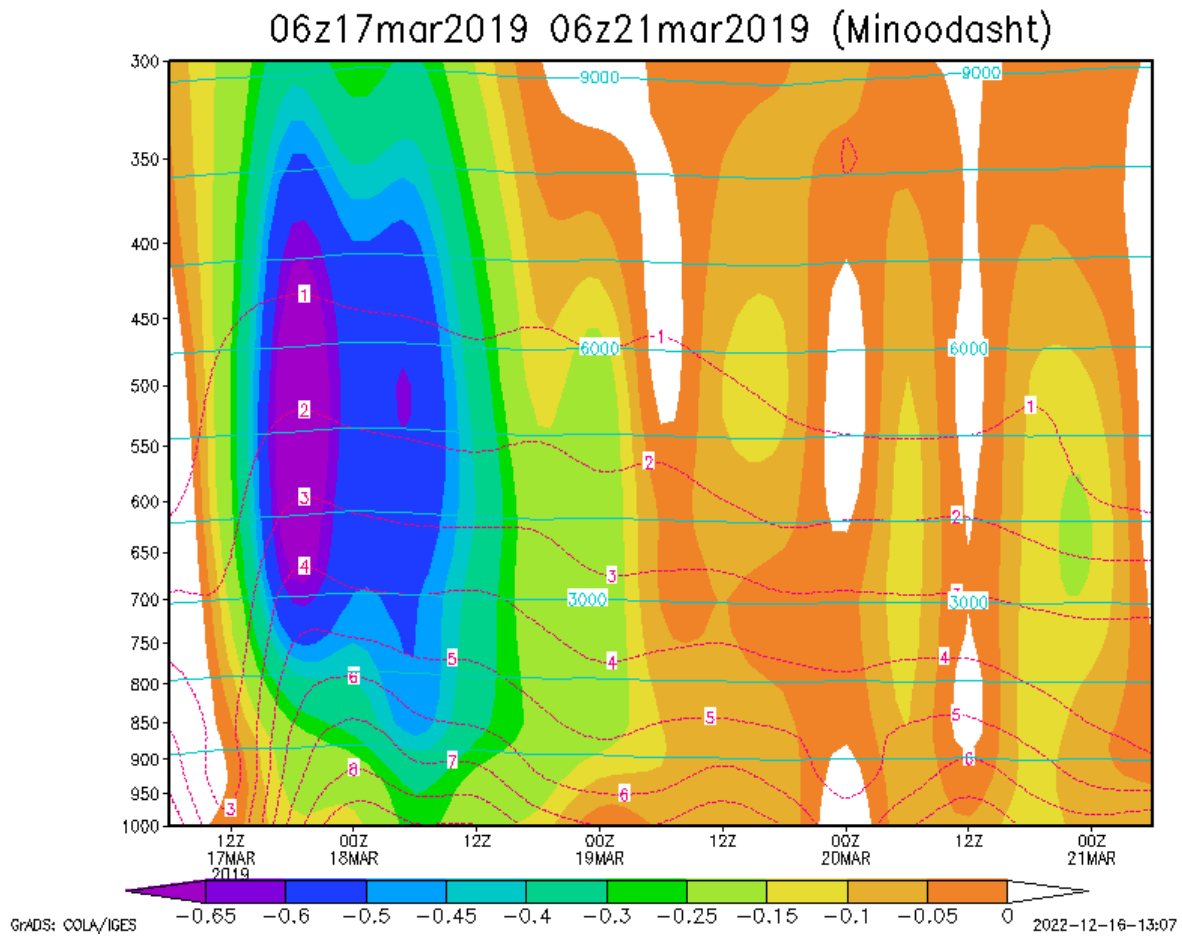


شکل ۱۱- محصولات ماهواره MODIS(Aqua) برای روز ۱۸ مارس ۲۰۱۹، الف: ابرناکی، ب: ضخامت نوری ابر، پ: فشار قله ابر (بر حسب هکتوپاسکال)

Figure 11- MODIS(Aqua) satellite products for March 18, 2019, A: Cloud cover, B: Cloud optical thickness, C: Cloud top pressure (in hectopascals)

برقرار بوده و جریانات صعودی وجود داشته است اما بیشترین شدت صعود هوا در زمانی است که بیشترین بارش‌ها رخ داده‌اند یعنی از ساعت ۱۸ روز هفده مارس تا ساعت ۱۸ روز هجده مارس. نکته قابل توجه در این شکل این است که در حوالی ساعت ۰۶ روز هجده مارس حرکات صعودی شدید از پایین‌ترین سطح شروع شده است که مطابق با زمانی است که بیشترین شدت بارش در آن رخ داده است و این موضوع نتایج نقشه‌ها و تحلیل‌های قبلی را تأیید می‌نماید. منحنی‌های رطوبت نیز نشان می‌دهند با ورود سیستم بارش‌زا به منطقه میزان رطوبت به ویژه در ترازهای پایین جو به شدت افزایش یافته است و با رخداد بارش‌ها به تدریج از میزان رطوبت کاسته می‌شود.

در نهایت، شرایط ناپایداری در سطوح مختلف جو طی روزهای رخداد بارش برر سی شد. بدین منظور، پروفایل قائم جو از ساعت ۰۶ (UTC) ۱۷ مارس تا ساعت ۰۶ (UTC) ۲۱ مارس که به نمودار هوف-مولر معروف است در موقعیت ایستگاه مینودشت (یکی از ایستگاه‌هایی که بارش زیادی در آن به ثبت رسیده بود)، ترسیم شد (شکل ۱۲). مهمترین پارامتر ترسیم شده در این نمودار امگا می‌باشد که شرایط ناپایداری جو یعنی حرکات عمودی هوا را نشان می‌دهد. در این شکل مقادیر منفی امگا که بیانگر صعود هوا می‌باشد بصورت طیف رنگی نمایش داده شده است. برر سی این نمودار نشان می‌دهد طی روزهای مورد مطالعه تقریباً در تمامی سطوح جو، شرایط ناپایدار



شکل ۱۲ - نمودار هوف-مولر ایستگاه مینودشت از ساعت ۰۶ (UTC) ۱۷ مارس تا ساعت ۰۶ (UTC) ۲۱ مارس ۲۰۱۹، امگا (طیف رنگی)،

ترازهای ارتفاع ژئوپتانسیل (خطوط سبز رنگ) و رطوبت ویژه برحسب گرم بر کیلوگرم (خط چین قرمز رنگ)

Figure 12- Hoff-Müller plot of Minoodasht station from 06:00 (UTC) 17 March to 06:00 (UTC) 21 March 2019, omega (color spectrum), geopotential height levels (green lines) and specific humidity in grams/kg (red dashed line)

نتیجه گیری

سیل یکی از خسارت‌بارترین بلایای طبیعی است که عمده دلیل آن بارش‌های سنگین می‌باشد. در ماه مارس ۲۰۱۹ (هفدهم تا بیست و یکم) در حوضه آبریز گرگانود وقوع بارش‌های سنگین منجر به ایجاد سیل در این حوضه گردید و به دلیل ماندگاری سیل و آبگرفتگی در شهرها و روستاها، خسارات مالی زیادی برجای گذاشت. لذا در این تحقیق عوامل ایجادکننده سیل مذکور از جمله شرایط سینوپتیکی-دینامیکی بارش سنگین مورد بحث و بررسی قرار گرفت. نتایج تحقیق حاضر در تحلیل عوامل وقوع سیل را می‌توان بطور خلاصه به شرح زیر بیان داشت:

- بررسی توپوگرافی و شیب حوضه گرگانود مشخص کرد شرایط فیزیکی حوضه بگونه‌ای است که پتانسیل وقوع سیل در آن زیاد است.
- مقدار بارش در بازه‌های زمانی ۲۴، ۶ و نیم ساعته در منطقه مورد مطالعه مورد بررسی قرار گرفت و نشان داده شد که بارش‌های رخ داده طی روزهای ۱۷، ۱۸ و ۱۹ مارس بویژه در هجدهم مارس از نظر شدت جزء بارش‌های بسیار شدید هستند. به عنوان مثال بارش بالای ۸۰ میلی‌متر طی شش ساعت از ایستگاه‌های کلاله و مینودشت گزارش شده است. همچنین تصاویر ماهواره‌ای نشان داد طی نیم ساعت در برخی مناطق بارش بالای ۲۰ میلی‌متر رخ داده است.
- بررسی وضعیت تروپوسفر میانی نشان داد تشکیل موج راسبی و گسترش نصف‌النهاری یکی از تراف‌های آن همراه با ایجاد چرخندگی مثبت که در روز هفدهم مارس منطقه مورد مطالعه را تحت سیطره درآورد از عوامل اصلی ایجاد جو باروکلینیک و صعود دینامیکی هوا می‌باشد.
- بررسی شرایط سینوپتیکی-دینامیکی ترازهای زیرین تروپوسفر نشان داد در ترازهای پایین سیستم سینوپتیکی کم‌ارتفاع با کنتورهای بسته همزمان با حاکمیت تراف عمیق بر فراز منطقه، تشکیل و طی زمان‌های اوج بارش تقویت شده است و منجر به صعود شدید هوا گردیده است. به عبارت دیگر، قرارگیری منطقه مورد مطالعه در ناحیه شرقی تراف تراز میانی که شرایط چرخندگی مثبت و واگرایی شدید در آن حاکم است همزمان با تشکیل کم‌ارتفاع‌های بسته در ترازهای زیرین تا سطح زمین حاکی از تشکیل یک سیکلون عمیق بر روی منطقه مورد مطالعه می‌باشد که در زمان رخداد بارش سنگین منجر به ایجاد ناپایداری‌های شدید جوی و صعود دینامیکی هوا گردیده است. مقادیر امگای منفی که مرکز بیشینه آن در محل تشکیل سیکلون قرار دارد، مطالب فوق را تأیید می‌نماید.
- بررسی وضعیت رطوبت جو در منطقه مورد مطالعه و شناسایی

منابع تأمین رطوبت با استفاده از نقشه‌های رطوبت ویژه، تابع همگرایی شار رطوبت و مسیرهای جریان‌ات جوی انجام گرفت. نتایج نشان دادند رطوبت بارش‌های سنگین از دریا‌های جنوبی ایران و دریای خزر تأمین شده است. تعقیب مسیرهای انتقال رطوبت قبل از شروع بارش و در زمان رخداد بارش نشان داد رطوبت زیادی از دریا‌های جنوبی ایران به ویژه دریای عمان به شمال شرق ایران منتقل شده است و با وجود دریای خزر در مجاورت منطقه به عنوان یک منبع رطوبت، گردش سیکلونی حجم رطوبت بالایی را در منطقه تجمع کرده است.

- بررسی متغیر امگا در پروفایل قائم جو با استفاده از نمودار هوف-مولر نشان داد طی زمان‌های رخداد بارش، حرکات صعودی در کلیه ترازهای تروپوسفر حاکم بوده است به ویژه در زمان اوج بارش حرکات صعودی در ترازهای زیرین شدیدتر شده‌اند.
- شناسایی نوع ابرها با استفاده از محصولات MODIS نشان داد در زمان وقوع بارش‌های سنگین بخصوص در روز ۱۸ مارس ابرهای همرفتی عمیق همراه با چگالی بالایی از آب در منطقه تشکیل شده‌اند که تا ارتفاع زیادی گسترش یافته و ضخامت زیادی دارند.
- در کل این نتیجه را می‌توان گرفت که تشکیل سیکلونی قوی در شمال شرق ایران در بستر ترافی عمیق و ورود رطوبت کافی از عوامل اصلی وقوع بارش سنگین بودند که این عوامل توأم با ویژگی‌های فیزیوگرافی حوضه شرایط وقوع سیلاب را فراهم کردند. عوامل شناسایی شده در رخداد بارش سنگین در تحقیق حاضر با برخی عوامل بارش‌های سنگین در مطالعات پیشین مشترک هستند که به بعضی از آن‌ها اشاره می‌شود: عامل چرخندگی مثبت و واگرایی در ترازهای بالا در پژوهش کموشجو و همکاران (۱۹۹۸)، عامل گردش سیکلونی در ترازهای میانی و پایینی در پژوهش فلونی و همکاران (۲۰۱۶)، عامل کم‌فشار بریده در پژوهش بالتاجی و همکاران (۲۰۱۷)، عامل تراف عمیق مستقر بر غرب ایران و چرخندگی مثبت در اکثر مطالعات داخلی از جمله احمدی و جعفری (۲۰۱۵)، رحیمی و حاتمی (۲۰۱۶)، حبیبی و همکاران (۲۰۱۹)، میریان و همکاران (۲۰۲۰)، حسینی صدر و همکاران (۲۰۲۰) و بیرانوند و همکاران (۲۰۲۲)، عامل منبع رطوبت که در تحقیق حاضر همانند تحقیقات احمدی و جعفری (۲۰۱۵) حسینی صدر و همکاران (۲۰۲۰) و بیرانوند و همکاران (۲۰۲۲) از آب‌های عرض‌های جنوبی تأمین شده است.
- در پایان با توجه به مستعد بودن حوضه گرگانود از نظر وقوع سیل، جهت پیشگیری از وقوع و آمادگی در زمان وقوع سیل‌های احتمالی آینده اولاً باید با برخی اقدامات نظیر آبخیزداری، آبخوان‌داری، جلوگیری از تخریب پوشش گیاهی، توجه به کاربری مناسب اراضی، آزادسازی مسیرهای سیلاب بویژه از سازه‌های انسان ساخت و سایر

هشدارهای لازم برای احتمال وقوع بارش‌های سیل‌زا صادر شود.

اقدامات احتمال وقوع سیلاب و اثرات مخرب آن را کاهش داد و ثانیاً در صورت پیش‌بینی تشکیل سیکلون در مناطق شمال شرقی ایران باید

منابع

1. Baltaci, H. (2017). Meteorological analysis of flash floods in Artvin (NE Turkey) on August 24, 2015, *Natural Hazards and Earth System Sciences* 1-23. <https://doi.org/10.5194/nhess-2016-404.2017>.
2. Beiranvand, I., Gabdomkar, A., Abbasi, A., & Khodagholi, M. (2022). Statistical-Synoptic Analysis of April 2019 Heavy Rainfall in Doroud-Boroujerd Basin. *Journal of Natural Environmental Hazards* 11(32): 169-188. <https://doi.org/10.22111/jneh.2022.38564.1806>.
3. Dayan, U., Nissen, K., & Ulbrich, U. (2015). Atmospheric conditions inducing extreme precipitation over the eastern and western Mediterranean. *Natural Hazards and Earth System Sciences* 2525-2544. <https://doi.org/10.5194/nhess-15-2525-2015>.
4. Feloni, E., Nastos & Matsangouras, I.T. (2016). Seasonal synoptic characteristics of heavy rain events in the Attica Region. *Perspectives on Atmospheric Sciences* 391-396. <https://doi.org/10.1007/978-3-319-35095-0-55>.
5. Freer, J., Beven, K.J., Neal, J., Schumann, G., Hall, J., & Bates, P. (2011). Flood risk and uncertainty. *Risk and Uncertainty Assessment for Natural Hazards* 190-233. <https://doi.org/190-233>. [10.1017/CBO9781139047562.008](https://doi.org/10.1017/CBO9781139047562.008).
6. Gasemifar, E., Naserpour, S., & Arezomandi, L. (2017). Analysis of synoptic patterns related to extreme precipitation over west of Iran. *Journal of Spatial Analysis Environmental Hazards* 4(2): 69-86. (In Persian)
7. Ghavidel Rahimi, Y., & Hatami, D. (2016). Analysis of heavy rainfall led to flood risk on 27 February 2010 in eyvangharb city (in west of Iran). *Journal of Geography Space* 16(55): 1-16. (In Persian)
8. Halabian, A., Nikandish, N., & Akbari, M. (2019). Synoptic and dynamic analysis of flood generating systems in Mazandaran. *Watershed Engineering and Management* 11(1): 129-146. (In Persian). <https://doi.org/10.22092/ijwmse.2018.108884.1246>.
9. Hoseini Sadr, A., Mohammadi, G., Abdoul Alizade, F., & Khjaste Golamei, V. (2020). Analysis of synoptic mechanisms of heavy rainfall of 14th of April 2017 in Northwest Iran. *Geography and Planning* 23(70): 79-100. (In Persian)
10. Karianne, Ø., Müller, M., Palerme, C., & Tveito, O.E. (2023). Recent changes in circulation patterns and their opposing impact on extreme precipitation at the west coast of Norway. *Weather and Climate Extremes* 39: 100530, 1-10. <https://doi.org/10.1016/j.wace.2022.100530>.
11. Kheradmand, S., Seidou, O., Konte, D., & Bohari Barmou Batoure, M. (2018). Evaluation of adaptation options to flood risk in a probabilistic framework. *Journal of Hydrology: Regional Studies* 19: 1-16.
12. Komuscu, A.U., Erkan, A., & Çelik, S. (1998). Analysis of meteorological and terrain features leading to the Izmir flash floods. *Natural Hazards* 18: 1-25.
13. Mastrangelo, D., Horvath, K., Riccio, A., & Miglietta, M. (2011). Mechanisms for convection development in a long-lasting heavy precipitation event over south eastern Italy. *Atmospheric Research* 100: 586-602.
14. Mirian, M., Karampoor, M., Moradi, M., & Ghaemi, H. (2020). Identifying dynamic and thermodynamic patterns of winter heavy rainfall in Iran (1960-2010), a case Study: 1974/12/05 Heavy Rainfall. *Physical Geography Research Quarterly* 52(1): 95-111. (In Persian). <https://doi.org/10.22059/jphgr.2020.286988.1007428>.
15. Mohamadei, B., & Masodeian, A. (2010). Synoptic analysis of heavy precipitation events in Iran. *Geography and Development* 8(19): 47-70. (In Persian). <https://doi.org/10.22111/gdij.2010.1108>.
16. Omidvar, K., Sepandar, N., & Shafiee, S. (2018). Synoptic and thermodynamic analysis of heavy precipitation in the Province of Kermanshah from October 27 to 30, 2015. *Scientific- Research Quarterly of Geographical Data (SEPEHR)* 27(107): 237-252. (In Persian). <https://doi.org/10.22131/sepehr.2018.33581>.
17. Rezacova, D., Kaspar, M., Muller, M., Sokol, Z., Kakos, V., Hanslian, D., & Pesice, P. (2005). A comparison of the flood precipitation episode in August 2002 with historic extreme precipitation events on the Czech territory. *Atmospheric Research* 77(1-4): 354-366. <https://doi.org/10.1016/j.atmosres.2004.10.008>.
18. Zheng, Z., & Wang, D. (2022). Observations of heavy short-term rainfall hotspots associated with warm-sector episodes over coastal South China. *Atmospheric Research* 276: 106273, ISSN 0169-8095. <https://doi.org/10.1016/j.atmosres.2022.106273>.
19. Zhang, Y., Sun, j., Zhu, L., Tang, H., Jin, S., & Liu, X. (2021). Comparison of two types of persistent heavy rainfall events during sixteen warm seasons in the Sichuan Basin. *Atmospheric and Oceanic Science Letters* 14(6): 100094, ISSN 1674-2834. <https://doi.org/10.1016/j.aosl.2021.100094>.